



1.- Marmolera en las cercanías de los picos del Infierno, atravesados por numerosos diques.

• SIN UBICACIÓN



10.- Vista del collado de Izas. Se aprecia la discordancia entre las series rojas del Permiano y las grauvacas y pizarras del Namuro - Westfa- liense ( H ).



11.- Cabalgamiento de Izas. Se aprecia como el plano de cabalgamiento buza al N. poniendo las series rojas sobre la caliza del Tobazo ( $D_4^F$ ) en primer término y al fondo sobre las calizas de base del carbonífero ( $H^C$ ).



12.- Barranco de Culivillas . A la izquierda las series rojas del Permiano  $P_1$  ,  $P_2$  y  $P_3$  , con sills basálticos ( $\beta_3$  ) en el  $P_3$  . Al fondo el vértice y pico de Anayet en andesitas.

13.- Continuación hacia el N. de la foto anterior, con el Estefaniense en el fondo del barranco y una colada de andesitas a la derecha ( $\alpha^{31}$ ).





14.- Brecha poligénica, con elementos de andesita, pizarra tobacea, y chert negro y blanco en el Estefaniense de Campo de Troya.



16.- Collado del Bazuelo e Ibón de los Asnos. Se aprecia la secuencia basal del Cretáceo superior hasta la arenisca de Marboré. La formación  $C_{21-24}$ , de caliza de pátina clara está repetida tectónicamente.



17.- Vista de Peña Roya, collado del Bazuelo y pico Mandilar. En el centro de la foto, antiforma del pico Mandilar correspondiente al flanco inverso plegado del anticlinal de la Montaña del Verde que hacia la derecha se prolonga debajo del Cretáceo de Sierra Tendeñera.



18.- Vista de Peña Telera donde se aprecia la serie cretácea sobre el Paleozoico del fondo del valle.



19.- Vista del W. de la Peña Telera hacia la Rinconada.



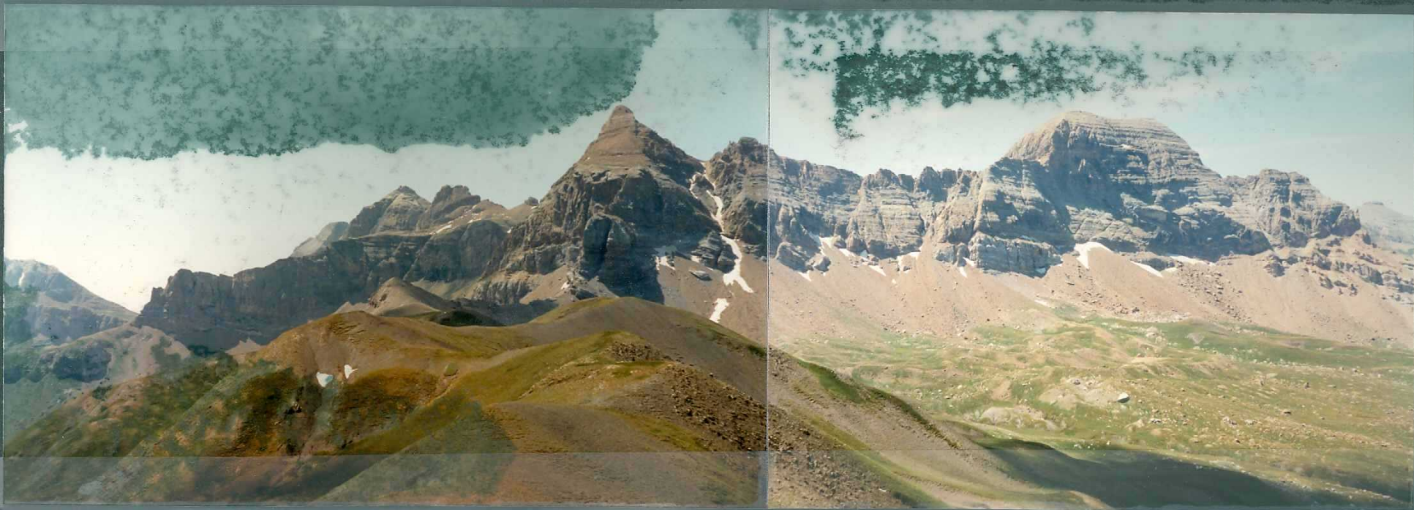
2.- Marmolera en los picos del Infierno.  
• SIN UBICACIÓN



20.- Secuencia completa del Cretáceo superior hasta la caliza blanca del del Paleoceno ( $T_1^c$ ) en las cercanías de Peña Telera. Se aprecia un cabalgamiento de las areniscas de Marboré ( $C_{25-26}$ ), en la cumbre, sobre el Paleoceno.



21.- Vista general de los pizarrales del río Escarra ( $D_{3-4}$ ) hacia la Rinconada. Al fondo las sierras cretáceas.



22.- Pico de Escarra desde el Carbonífero del collado de Izas. A la derecha morrenas de altura en la Canal de Izas.



23.- Canal de Izas. Continuación de la panorámica anterior hacia el W.



24.- Barranco de Ip y pico Collarada.



25.- Área del ibón de Bucuesa. Contacto tectónico base de escama dentro de la arenisca de Marboré. **-SIN UBICACIÓN**



26.- Balcón de Pilatos sobre el Plan de Igüés. La caliza basal del Terciario en la parte izquierda de la fotografía se une en el aire con la que culmina el pico del Balcón de Pilatos. En la parte derecha e inferior de la fotografía reaparece la misma caliza en una escama estructuralmente inferior. El contacto que separa ambas unidades ( $\Psi_{3a}$ ) está plegado por una fase ulterior.

• SIN UBICACIÓN

27.- La Peña Retona, delante de la nube, y el mogote calcáreo de Peña Gabacha que limita por el Oeste el Plan de Igüés. En lo alto de Peña Retona las areniscas de Marboré ( Cretáceo ) de tono amarillo corridas sobre la caliza del Terciario basal. •SIN UBICACIÓN





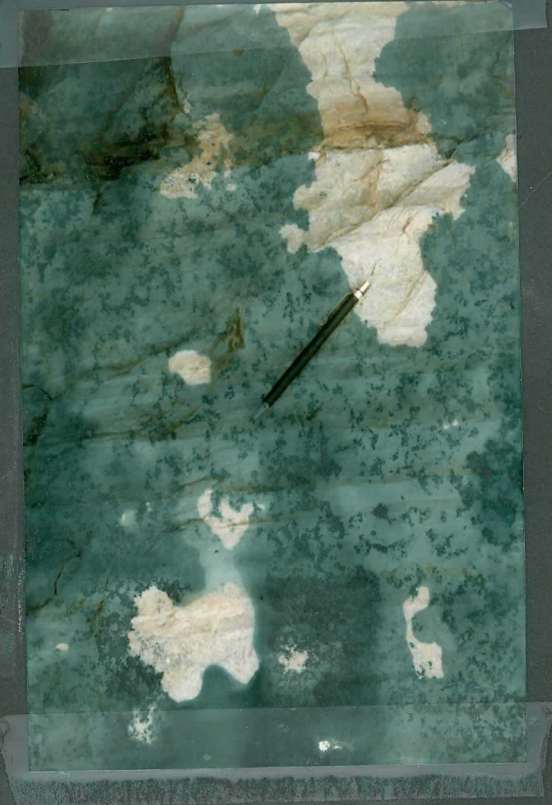
28.- Balcón de Pilatos sobre el Plan de Igüés .  
-SIN UBICACIÓN-



29.- Peña Gabacha y Peña Retona vistas desde el Este  
· **sín ubicación**



3.- Visión parcial de los picos del Infierno.  
• SIN UBICACIÓN



30.- Tramo basal calcáreo en el flysch eoceno.



31.- Nivel turbidítico más areníscoso dentro del tramo basal.



4.- Vista del macizo del Infierno - Argüalas desde el SW. En primer término se aprecian los extensos pizarrales del río Escarra (  $D_{3-4}$  ), mientras que algo más alejado se encuentra el anticlinal del Pacino en las calizas del  $D_2$  . **SIN UBICACIÓN**



5.- Ladera SW. del pico Escuelas. En la línea de cumbres, la caliza  $D_2$  del flanco invertido de un sinclinal cuyo flanco normal aflora a la izquierda formando un repliegue menor. Estas calizas del flanco normal se prolongan hasta el anticlinal debajo del collado de Tendeñera en la parte derecha de la figura. • **Sin Ubicación**



6.- Detalle de la panorámica anterior.  
• SIN UBICACIÓN



7.- Ladera NW. del pico Escuelas y río Ripera. En la parte inferior, la primera barra subiendo en la ladera representa la caliza  $D_2$  en posición normal que hacia la derecha se prolonga hasta el anticlinal situado debajo del Collado de Tendeñera. La segunda barra constituye el flanco inverso del sinclinal del pico Escuelas que, hacia la derecha, asciende median



8.- Flanco normal de uno de los anticlinales de las Ferreturas en la caliza D<sub>6</sub>-H. Los tramos paralelos de morfología blanda son niveles con líticas. El de la izquierda está en el Fameniense, el de la derecha en el Tournaisiense.



9.- Ladera sur del valle de Izas. Anticlinal volcado de primera fase en las calizas de base del Carbonífero con eje aproximado N-S. Al fondo, las calizas del Cretáceo superior.